

Effect of Organic Loading Rate on the Performance of Anaerobic Process in Treatment of Pulp and Paper Mill Effluents

Zabihollah Yousefi¹,
Jamshid Yazdani Cherati²,
Masoumali Movahedi³,
Fateme Kariminejad⁴

¹ Professor, Department of Environmental Health Engineering, Faculty of Health, Mazandaran University of Medical Sciences, Sari, Iran

² Associate Professor, Department of Biostatistics, Health Sciences Research Center, Faculty of Health, Mazandaran University of Medical Sciences, Sari, Iran

³ MSc in Environmental Engineering, Health Sciences Research Center, Faculty of Health, Mazandaran University of Medical Sciences, Sari, Iran

⁴ MSc Student in Environmental Health, Student Research Committee, Faculty of Health, Mazandaran University of Medical Sciences, Sari, Iran

(Received April 5, 2015 Accepted September 22, 2015)

Abstract

Background and purpose: Pulp and paper industries produce large quantities of effluent that release various pollutants daily. Among various methods for treating such effluents, anaerobic biosorption process is of interest because of lower need to mechanical energy, biogasses production, high organic loading rate (OLR), low sludge production, and resistant system. OLR is one of the most important effective hydrodynamic parameters. In this study, the effect of OLR was investigated on anaerobic biosorption reactor in treating pulp and paper effluent.

Materials and methods: A 1.96L effective volume cannon pilot was used and wastewater was injected by pumping to the bed of the reactor. Temperature and pH were maintained about $30\pm2^\circ\text{C}$ and 6.8-7.2, respectively. The effect of OLR on efficiency of system was studied in $1\text{-}12 \text{ kgCOD/m}^3\text{.d}$. All experiments were performed under steady state conditions using procedures outlined in Standard Methods.

Results: In OLR $7\text{kgCOD/m}^3\text{.d}$ and upflow velocity of 0.56m/h the system was able to reduce over 80% of COD concentration after 33-39h. No significant increase was observed in efficiency of the system at more OLRs, so it was selected as optimum loading rate. System efficiency was found to have a direct relation with decrease of upflow velocity and increase of HRT. The gas generation rate was $0.32 \text{ m}^3/\text{kg COD removed}$.

Conclusion: According to this study, anaerobic biosorption system satisfactorily treated pulp and paper mill effluent and could perform this close to wastewater discharge standards established by national guidelines.

Keywords: Industry, wastewater, COD, Biomass, Anaerobic, Absorption

تأثیر میزان بارگذاری آلی بر کارایی فرآیند بیهوازی به منظور تصفیه پساب صنایع چوب و کاغذ

ذیبیح الله یوسفی^۱

جمشید یزدانی چراتی^۲

معصومعلی موحدی^۳

فاطمه کریمی نژاد^۴

چکیده

سابقه و هدف: صنایع چوب و کاغذ روزانه پسابی با آلاینده‌های گوناگون تولید می‌کنند. از میان روش‌های مختلف تصفیه فاضلاب این صنایع، بیوجذب بیهوازی به دلیل نیاز کم به انرژی مکانیکی، تولید بیوگاز، میزان بارگذاری بالا (OLR)، تولید لجن کمتر و سیستم پایدار مورد توجه است. OLR به عنوان یکی از مهم‌ترین پارامترهای هیدرودینامیکی موثر بر میزان کارایی است. در این مطالعه اثر OLR بر سیستم بیوجذب بیهوازی به منظور تصفیه پساب صنایع چوب و کاغذ مورد بررسی قرار گرفت.

مواد و روش‌ها: به منظور ساخت راکتور از یک استوانه به حجم مفید ۱/۹۶ لیتر استفاده شد. فاضلاب به وسیله پمپ از پایین راکتور به داخل تزریق گردید. دما و pH به ترتیب در محدوده 30 ± 2 درجه سانتی گراد و $6/8-7/2$ حفظ شد. اثر میزان OLR در محدوده $1-12 \text{ kgCOD/m}^3 \cdot \text{d}$ بر بازدهی سیستم مورد بررسی قرار گرفت. کلیه آزمایشات در شرایط ثابت و براساس دستورالعمل کتاب استاندارد متد انجام شد.

یافته‌ها: بر اساس نتایج حاصله، در OLR برابر $\text{kgCOD/m}^3 \cdot \text{d}$ ۷ و سرعت رو به بالا $0/56 \text{ m/h}$ توانایی حذف بالغ بر 80% درصد COD را دارد. در OLR بیشتر، تاثیر چشمگیری بر میزان افزایش کارایی مشاهده نشد؛ لذا به عنوان بارگذاری بهینه انتخاب گردید. بازدهی سیستم با کاهش سرعت رو به بالا و افزایش زمان ماند رابطه مستقیم دارد. میزان گاز تولید شده معادل $0/32$ متر مکعب به ازای کیلو گرم COD حذف شده بود.

استنتاج: نتایج مطالعه حاضر نشان داد که سیستم بیوجذب بیهوازی توانایی رضایت‌بخشی در تصفیه پساب صنایع چوب و کاغذ دارد و می‌تواند پساب خروجی را به حد استانداردهای ملی تخلیه پساب برساند.

واژه‌های کلیدی: صنعت، فاضلاب، COD، توده زیستی، بیهوازی، جذب

مقدمه

گوناگون می‌کند که می‌تواند مشکلات زیست محیطی جدی را به دنبال داشته باشد (۱، ۲). به طور موردنی، کارخانه چوب و کاغذ مازندران روزانه حدود 28000 متر مکعب

در صنایع چوب و کاغذ به منظور تولید و رنگبری کاغذ، روزانه حجم بسیار بالایی آب و مواد شیمیایی گوناگون استفاده و بالطبع تولید پسابی با آلاینده‌های

- مؤلف مسئول: فاطمه کریمی نژاد - ساری: کیلومتر ۱۸ جاده خزرآباد، مجتمع دانشگاهی پامبر اعظم، مرکز تحقیقات علوم بهداشتی**
 ۱. استاد، گروه مهندسی بهداشت محیط، دانشکده بهداشت، دانشگاه علوم پزشکی مازندران، ساری، ایران
 ۲. دانشیار، گروه آمار حاتی، مرکز تحقیقات علوم بهداشتی، دانشکده بهداشت، دانشگاه علوم پزشکی مازندران، ساری، ایران
 ۳. کارشناسی ارشد محیط زیست، مرکز تحقیقات علوم بهداشتی، دانشکده بهداشت، دانشگاه علوم پزشکی مازندران، ساری، ایران
 ۴. دانشجوی کارشناسی ارشد بهداشت محیط، کیته تحقیقات داشتجویی، دانشکده بهداشت، دانشگاه علوم پزشکی مازندران، ساری، ایران
- تاریخ دریافت: ۱۳۹۴/۱/۱۶ تاریخ ارجاع جهت اصلاحات: ۱۳۹۴/۱/۱۷ تاریخ تصویب: ۱۳۹۴/۶/۲۱

اسید)، رنگ، کلریدها و فتل اندازه گیری شد. نتایج حذف COD برابر ۴۵-۵۵ درصد و حذف AOX ۴۰-۴۵ درصد را نشان داد. اندازه گیری لیگنین مقاوم بودن این ترکیب به تجزیه بیولوژیکی را نشان داد (حذف کلی لیگنین کمتر از ۲۰ درصد). همچنین با توجه به رنگ تولید شده، به منظور تخلیه پسآب استفاده از واحد فیزیکو-شیمیایی بعد از HPBR ضروری گزارش شد(۱۱).

Cui و همکاران(۲۰۱۱) در مطالعه خود توانایی سیستم بیهوازی IC در تصفیه فاضلاب صنایع چوب و کاغذ را مورد بررسی قرار دادند. این راکتور در واقع نسل بعد راکتور UASB^۷ است که از جمله توانایی‌های آن بارگذاری حجمی و کارایی بالا، نسبت زیاد ارتفاع به قطر، زمین مورد نیاز کم و تولید انرژی است. نتایج این مطالعه، اگرچه حذف COD محلول حدود ۵۵ درصد را داشت، اما به دلیل حساس بودن سیستم، در صورت استفاده از این راکتور، باید حتماً سیستم پیش تصفیه هم به منظور حذف SS^۸ در نظر گرفته شود(۱۲). در مطالعه Arshad و همکاران (۲۰۱۲) توانایی هضم بیهوازی پسآب جریان Nssc^۹ صنایع چوب و کاغذ توسط دو سیستم UASB (راکتور اول در شرایط متداول و راکتور دوم با افزودن متانول و کربن فعال) بررسی شد. در بارگذاری بهینه ۳.d Kg/m³^{۱۰} و ۴/۵ Kg/m³^{۱۱} برابر ۱۸ ساعت، راکتور دوم ۶۹ درصد حذف TOC و ۶۰ درصد حذف لیگنین داشت، اما در راکتور اول تنها ۵۶ درصد حذف TOC و ۵۱ درصد حذف لیگنین گزارش شد(۱۳). لازم به ذکر است که پارامترهای مختلفی مانند دما، pH، مشخصات فاضلاب ورودی، قلیائیت، اسیدیت، زمان ماند هیدرولیکی و سلولی، سمیت، ماکرو و میکرو نوترینت‌ها، بارگذاری آلی و غیره بر میزان کارایی این سیستم‌ها اثرگذار

آب مصرف و حدود ۲۰۰۰۰ متر مکعب پسآب تولید می‌کند که حاوی مقادیر بالایی رنگدانه‌های معدنی تان، لیگنین، ترکیبات فلزی وغیره است. این کارخانه در جنوب شهرستان ساری، در مجاورت رودخانه تجن و منطقه سالار دره واقع شده است(۳). فرآیند تصفیه کنونی موجود در کارخانه چوب و کاغذ مازندران شامل ته نشینی اولیه و به دنبال آن تصفیه بیولوژیکی، انعقاد شیمیایی و زلال‌ساز است؛ اما پسآب خروجی باز هم حاوی غلظت‌های محسوسی از COD^۱، رنگ و سمیت است(۴). لذا تصفیه تکمیلی به منظور به استاندارد رساندن پسآب جهت تخلیه به رودخانه تجن لازم و ضروری است(۴). از میان روش‌های مختلف تصفیه فاضلاب این صنایع، لخته‌سازی، هوادهی، جذب روی کربن فعال و اسمز معکوس تنها موجب انتقال آلاینده‌ها از یک فاز به فاز دیگر می‌شود و لذا تولید آلودگی ثانویه می‌کند(۴،۵). فرآیندهای شیمیایی نیز مانند انعقاد و اکسیداسیون پیشرفت‌به دلیل نیاز به انرژی بالا و هزینه اثربخشی کم، کمتر مورد توجه هستند(۶،۷). فرآیند بیهوازی همانند سایر سیستم‌های بیولوژیکی بیهوازی، در کنار مزیت‌هایی چون نیاز کم به انرژی مکانیکی، تولید بیوگاز، تحمل بارگذاری بالا، تولید لجن کمتر و پایدارتر از فرآیندهای بیولوژیکی هوایی بیشتر مورد توجه است(۸-۱۰). بررسی مطالعات گذشته نیز استفاده از این روش را برای تصفیه فاضلاب صنایع چوب و کاغذ نشان داده است که از جمله آنها می‌توان به موارد ذیل اشاره نمود.

در مطالعه Chaparro و همکاران (۲۰۱۱) تصفیه فاضلاب تولید شده در واحد سفیدگری^۱ دو واحد کارخانه چوب و کاغذ بزرگ توسط راکتور بیهوازی بستر افقی (HPBR)^۲ مورد بررسی قرار گرفت و پارامترهای ASL^۳، DOC^۴، AOX^۵، Lignin^۶ محلول در

7- Upflow Anaerobic Sudge Blanket

8- Suspended Solids

9- Neutral Semi-Sulfide Chemical

10- Hydraulic Retention Time

11- Total Organic Carbon

1- Chemical Oxigen Demand

2- Bleaching

3- Horizontal Packed-bed Anaerobic Reactor

4- Dissolved Organic Carbon

5- Adsorbable Organic Halogen

6- Acid Soluble Lignin

مواد و روش ها

۱- کلیات

این طرح در مقیاس آزمایشگاهی و در آزمایشگاه دانشکده بهداشت دانشگاه علوم پزشکی مازندران بر روی پسآب مصنوعی واقعی کارخانه چوب و کاغذ انجام شد.

۲- تعیین حجم نمونه مطالعه حاضر در مدت ۵۴ روز (۱۳ روز راه اندازی و ۴۱ روز فاز مطالعاتی) انجام گردید. با ثابت نگه داشتن تغییرات دما و pH، در مجموع تعداد ۱۰۸ نمونه ($54 \times 2 = 108$) برای هر یک از پارامترهای رنگ، لیگنین و COD تخمین زده شد. به طور مشابه، اندازه گیری جامدات به طور متوسط هر پنج روز (در مجموع ده مرتبه) از چهار شیر راکتور انجام گردید، لذا تعداد ۴۰ نمونه جامدات در مجموع گرفته شد. قلیانیت و اسیدهای چرب (با اندازه گیری روزانه در دوره‌ی راه اندازی سیستم) نیز ۱۳ مرتبه نمونه گیری شدند.

۳- مشخصات پایلوت

به منظور ساخت راکتور از استوانه‌ای به جنس پلی‌اتیلن پر فتالات (PET) و حجم مفید ۱/۹۶ لیتر (قطر داخلی ۵cm و به ارتفاع ۱۱۰cm) استفاده شد. در هر ستون، بین شیر ورودی و خروجی، دو شیر نمونه گیری نیز در فاصله‌های یکسان در بدنه راکتور به منظور نمونه برداری و اطلاع از وضعیت لجن درون راکتور تعییه شد. چهار صفحه مشبك به فاصله ۱۵ سانتی متر از شیرهای مورد نظر قرار داده شد که هم مانع خروج لجن از ستون شده و هم به توزیع یکواخت جریان کمک کند. درب ستون‌ها بسته و در بالای هر ستون نیز لوله خروجی گاز تعییه شد. یک لوله U شکل نیز در کنار هر ستون در نظر گرفته شد تا بتوان سطح لجن را مورد ارزیابی قرار داد. شماتیک پایلوت مورد نظر در تصویر شماره ۱ موجود است.

هستند(۸). میزان بارگذاری آلی^۱ مجاز یکی از مهم‌ترین پارامترهای هیدرودینامیکی موثر بر میزان کارایی است. این پارامتر با توجه به مشخصات هر فاضلاب و سیستم، برای هر سیستم تصفیه در طیف گسترده و متنوعی گزارش می‌شود(۱۴).

OLR بر پارامترهایی مانند درصد حذف COD، میزان تولید بیوگاز (متان و هیدروژن) و اسیدهای چرب و قلیانیت اثرگذار است که در کاربری فرآیندهای بیهوازی (مرحله هیدرولیز و اسیدوژنیز) نقش حیاتی دارند. میزان بهینه باید طوری تعیین شود که بتواند بیشترین جریان فاضلاب را در زمان مناسب و بدون خروج لجن از سیستم مورد تصفیه قرار دهد(۱۵-۹). با توجه به ضروری بودن تصفیه تکمیلی برای این صنایع، مطالعه حاضر به منظور معرفی روشی ارزان و اثر بخش در رساندن پسآب خروجی به حد استانداردها انجام شد. هدف این مطالعه بررسی توانایی سیستم بیوتجزیه بیهوازی (به عنوان یک بخش از تصفیه تکمیلی) با ایجاد سیکل ترکیبی هوازی-بیهوازی-هوازی بود. در این روش فاضلاب خروجی از واحد هوازی موجود در تصفیه خانه این صنعت وارد راکتور بیهوازی (مطالعه حاضر) شده و پسآب از واحد بیهوازی مجدداً به صورت یک جریان کنارگذر به واحد هوازی انتقال داده می‌شود. این روش در صورت داشتن کارایی لازم نه تنها سبب تصفیه تکمیلی پسآب می‌گردد بلکه با رقیق‌سازی جریان ورودی واحد هوادهی سبب کاهش بار آلی بر سیستم هوازی، تولید لجن کمتر، کاهش زمان هوادهی مورد نیاز و متعاقب آن مصرف انرژی کمتر می‌شود. هم‌چنین اثر OLR بر سیستم بیوجذب بیهوازی به منظور تصفیه تکمیلی پسآب صنایع چوب و کاغذ برای رسیدن به حد استانداردهای خروجی لازم مورد بررسی قرار گرفت. نتایج حاصله می‌تواند توانایی این روش تصفیه را مورد ارزیابی قرار دهد و در مطالعات تکمیلی به عنوان پارامتر حیاتی سیستم‌های بیهوازی مورد استفاده قرار گیرد.

۱- Organic Loading Rate(OLR)

۴- تامین لجن مورد نیاز

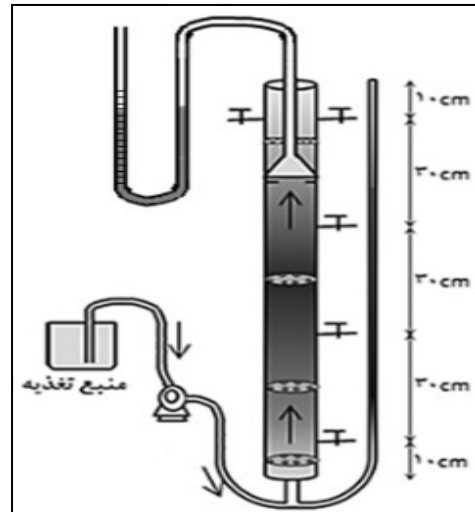
لجن مورد نیاز از خط لجن برگشتی حوضچه هوادهی کارخانه چوب و کاغذ مازندران تهیه و pH در رنج ۷/۵-۷ تنظیم شد. ۶۰ درصد حجم مفید ستون با این لجن پر شد و به منظور رسیدن لجن به حالت سپتیک، تا ۱۰ روز به حال خود رها شد. مشخصات لجن مورد استفاده در جدول شماره ۱ آورده شده است.

جدول شماره ۱: مشخصات لجن مورد استفاده به عنوان بیو جاذب در مطالعه حاضر

غلهای	پارامتر
۷-۷/۷	pH
۱۳۳۰۱ میلی گرم در لیتر	VSS
۲۱۴۵۳ میلی گرم در لیتر	TSS
۰/۶۲	VSS/TSS

1- Volatile Suspended Solid
2- Total Suspended Solid

فاضلاب طبق مشخصات گفته شده در جدول شماره ۱ ساخته و با تنظیم نسبت COD/N/P به حد ۱/۵۰/۵، ۱/۳۵۰ بارگذاری kgCOD/m³.d، سرعت روبه بالا ۰/۰۸m/h، و زمان ماند هیدرولیکی (HRT) ۱/۷۱ (HRT) ساعت به سیستم تزریق شد. محتویات راکتور به صورت برگشتی از آن خارج و مجدداً داخل راکتور گردید تا شرایط جدید بر زندگی ارگانیسم‌ها حاکم شود. کاهش COD فاضلاب ورودی که نشان دهنده تطبیق با شرایط جدید است تا رسیدن به حداقل حذف ۷۰ درصد اندازه‌گیری و ثبت شد. در طی این مدت pH، حرارت، قلیائیت و اسیدهای فرار روزانه اندازه‌گیری و در صورت نیاز اصلاح می‌شدند. نسبت اسیدهای فرار به قلیائیت در محدوده ۰/۵ حفظ شد. به این منظور، در دوره راهاندازی اولیه سیستم با اندازه‌گیری متنابع اسیدهای فرار و قلیائیت تنظیمات طبق جدول شماره ۴ تا رسیدن به محدوده مطلوب انجام شد. پیشرفت کار راکتور در زمان راهاندازی سرعت دلخواه را نداشت، لذا تا زمانی که نتایج آزمایش رسیدن به حالت مطلوب را تأیید ننمود، OLR افزایش پیدا نکرد.



تصویر شماره ۱: شماتیک پایلوت مورد استفاده در مطالعه

فاضلاب با COD مشخص به وسیله پمپ قابل تنظیم پیستونی از پایین ستون به داخل آن تزریق شد. به منظور جلوگیری از ضربه‌های پمپ و برقراری جریان یکنواخت، فاضلاب ابتدا وارد شلنگ U شکل (در سمت راست تصویر شماره ۱ مشخص است) شده و سپس وارد راکتور می‌شود. به منظور حفظ دما، راکتور و منبع تغذیه در داخل اتاقکی قرار گرفت و با وسایل گرمایشی (دارای ترمومترات به منظور تنظیم دلخواه دما) دمای محیط همواره در محدوده دمایی مزوپلیک (۳۰±۲) حفظ شد. جریان فاضلاب به صورت پیوسته از راکتور عبور داده شد. به منظور اندازه‌گیری میزان گاز تولید شده که بخش عمده آن متان است (۲۰، ۱۹)، از سیستم مانومتری استفاده شد. لوله مانومتر از آب پر شده و یک طرف لوله با هوای آزاد در تماس است و طرف دیگر به خروجی گاز راکتور متصل شد. در طی دوره مطالعه تغییرات ارتفاع سطح ستون مایع ثبت و بر اساس قوانین حاکم در ظروف مانومتری (۲۱)، میزان فشار و نهایتاً گاز تولیدی آن محاسبه شد. هم‌چنین به منظور آنالیز ستون جامدات و بررسی میزان تراکم لایه بیولوژیکی در راکتور از کلیه شیرهای موجود در راکتور نمونه گیری انجام و غلظت جامدات (طبق روش موجود در بخش ۷) اندازه‌گیری شد.

فاضلاب ساخته شده با لیکور سیاه تا رسیدن به این مقدار تنظیم شد که حاوی تقریباً 150 mg/L لیگنین بود. فنل موجود در لیکور نیز برای ساخت فاضلاب کافی بود.

جدول شماره ۳: مقدار مواد شیمیایی مورد استفاده جهت ساخت ۲ لیتر فاضلاب مصنوعی

مقدار(ml)	ماده شیمیایی مورد استفاده	شکل
۷۹۶/۲۶	گلوکز	$\text{C}_6\text{H}_{12}\text{O}_6\text{H}_2\text{O}$ (Merck)
۶/۴	نیتریت سدیم	NaNO_2 (Merck)
۵/۰۴	دی هیدروژن فسفات پاتسیم	KH_2PO_4 (Merck)
۵۸۵/۹۲	کلرید آمونیوم	NH_4Cl (Merck)
۶/۹۶۸	دی نیترات کلسیم آبه	$\text{Ca}(\text{NO}_3)_2 \cdot 4\text{H}_2\text{O}$ (Merck)
۳۰۰	لیکور سیاه	

*همگی از استوک ۱۰۰ میلی گرم در لیتر به جز گلوکز و لیگنین که از استوک ۱۰۰۰ میلی گرم در لیتر است.

جدول شماره ۴: روش اصلاح پارامترهای pH و قلیائیت

هدف	بارامتر	آغاز	افزایش
pH	اسید کلریدریک	سود	سود
قلیائیت	کاهش تزریق فاضلاب	سود	کاهش تزریق فاضلاب
اسیدهای فرار	سود	اسیدهای فرار	*

(*کلیه محلول‌ها با غلظت یک نرمال ساخته شد)

۶- کار با پس‌آب واقعی

پس از نمونه‌گیری از پس‌آب واقعی کارخانه چوب و کاغذ مازندران و اندازه‌گیری COD، رنگ و لیگنین اولیه، توانایی حذف برای سه پارامتر مذکور در بارگذاری بهینه (به دست آمده در مرحله قبل) مورد ارزیابی قرار گرفت. نسبت COD/N/P در پس‌آب واقعی حدود ۱۸۰/۸/۳/۰/۰۸ بود که همان گونه که شرح داده خواهد شد به نسبت ۳۵۰/۵/۱ رسانده شد. پس‌آب جمع آوری شده به مدت ۲۴ ساعت نگهداری شد تا اکسیژن احتمالی موجود در آن خارج گردد و سپس به داخل راکتور تزریق شد. وجود TSS خروجی سبب بروز خطا در اندازه‌گیری رنگ می‌شود؛ به منظور حذف این خطا، نمونه‌ها در 1500 rpm برای ۱۵ دقیقه سانتریفیوژ شدند و سپس میزان رنگ اندازه‌گیری شد.

۵- تهیه فاضلاب مصنوعی برای آزمایشات مطالعه حاضر به منظور تصفیه پس‌آب صنایع چوب و کاغذ انجام شد، لذا به منظور ساخت فاضلاب شیوه‌سازی شده در مرحله اول، ترکیب پس‌آب این صنایع از مطالعه انجام شده در غرب ترکیه استخراج گردید(۲۲،۴). مشخصات پس‌آب اولیه مورد استفاده در مطالعه حاضر در جدول شماره ۲ لیست شده است.

جدول شماره ۲: اجزاء و خصوصیات فاضلاب مصنوعی مورد استفاده (همگی بر حسب mg/L به جز pH)

ماده شیمیایی	غلظت	ماده شیمیایی	غلظت
نیتریت	۴۲۶	COD	
آمونیوم (NH_4^+)	۲۳	نیتروژن کل	
فل	۰/۱۸۳	نیترات	
pH (متوسط)	۰/۱۷۶	فسفات	
رنگ(CU)	۱۵۰	لیگنین	

هم‌چین مواد شیمیایی مورد استفاده در ساخت این فاضلاب نیز در جدول شماره ۳ قابل مشاهده است. لازم به ذکر است که تنها منبع رنگ در این فاضلاب لیگنین بود که برای تامین این ماده از لیکور سیاه (۵۰ درصد) تهیه شده از کارخانه چوب و کاغذ مازندران استفاده شد تا منبعی مشابه آن‌چه در فاضلاب این صنایع وجود دارد باشد. لیکور سیاه از ۷۰ درصد ماده آلی (شامل پلی ساکاریدها، اسید استیک و فرمیک، ترکیبات باقیمانده با وزن مولکولی کم و به طور عمده لیگنین) و ۳۰ درصد ماده غیر آلی (عمدتاً یون‌های نمکی محلول) تشکیل می‌شود(۲۳-۲۶). همان‌طور که از ترکیبات این ماده مشخص است بخش عمده لیکور سیاه از لیگنین تشکیل شده است که سبب می‌شود در برابر تصفیه بیولوژیکی مقاومت از خود نشان دهد. ماده تهیه شده دارای pH برابر ۱۱، فنل 60 mg/L و حدود ۲۳۰۰ واحد رنگ(CU) بود.

با توجه به ناخالصی بالای این ماده و به منظور تزدیک شدن مشخصات فاضلاب مصنوعی به پس‌آب واقعی صنایع چوب و کاغذ مازندران- که در دوره نمونه‌گیری حاوی تقریباً 100 CU رنگ بود- رنگ

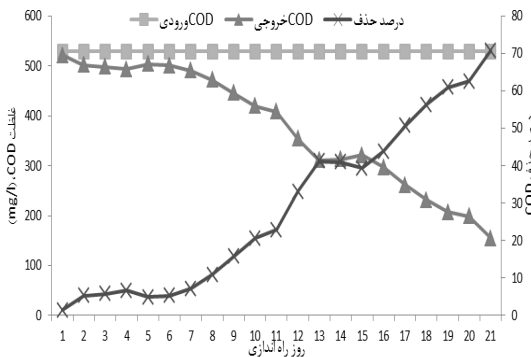
۷- روش انجام آزمایشات و آنالیز داده‌ها

کلیه آزمایشات در شرایط ثابت و براساس دستورالعمل کتاب استاندارد متد^۱ انجام گرفت. آزمایش جامدات بر اساس روش ۲۰۴۰، قلیائیت B ۲۳۲۰ B واسیدهای فرار ۵۵۶، B نسبت غذا به میکرو ارگانیسم بر حسب (۵۲۲۰ C) Closed reflux (M) توسط دستگاه اسپکتروفوتومتر (Model 201 Lambda EZ) و رنگ ۲۱۲۰ C توسط دستگاه اسپکتروفوتومتر (DR/2000) انجام شد. اندازه گیری لیگنین با روش رنگ سنجی (۲۸، ۲۷) و توسط دستگاه اسپکتروفوتومتر (Model 201 Lambda EZ) انجام شد. دما توسط دماسنج جیوه‌ای کنترل و ثبت شد. ثبت pH توسط دستگاه pH متر با مدل Jenway صورت گرفت. با توجه به حساس بودن باکتری‌های متان ساز به pH، این پارامتر در محدوده‌ی ۶/۸-۷/۲ H₂O حفظ شد.^۸ روش اصلاح pH و قلیائیت و اسیدهای فرار در جدول ۴ آورده شده است. در صورت نیاز به تنظیم نسبت COD/N/P، از اوره و اسید فسفریک استفاده شد. کلیه مواد مورد استفاده دارای گرید آزمایشگاهی بوده و از شرکت Merck تهیه شدند. در کلیه مراحل، به ویژه هنگام افزایش OLR، پارامترهای مورد نظر تا رسیدن به کمتر از ۵ درصد تغییر، اندازه گیری شدند تا اطمینان حاصل شود میکرووارگانیسم‌ها با شرایط جدید کاملاً تطبیق پیدا کرده‌اند. هم‌چنین به منظور بررسی دقیق‌تر سیستم، OLR، نسبت غذا به میکرووارگانیسم (F/M) و ظرفیت حذف بر اساس حجم راکتور و غلظت میکرووارگانیسم‌ها (EC_M و EC_V) برای آلدگی ورودی و خروجی نیز محاسبه شد. به این منظور از روابط ۱-۴ استفاده شد^(۲۹):

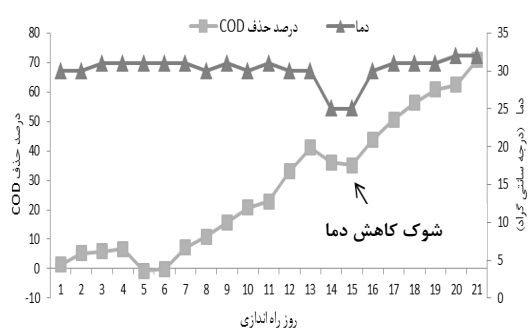
۱-۷. رنگبری لجن

در تزریق آب مقطر به داخل سیستم همواره در خروجی تولید رنگ مشاهده شد که به دلیل تغليظ و انباست لیگنین در لجن بود. لذا تزریق آب مقطر ادامه پیدا کرد تا این میزان انباست لیگنین و رنگ ناشی از آن با آب شسته و خارج شود. در طی این مدت رنگ و لیگنین به صورت روزانه اندازه گیری شد تا ثبات در

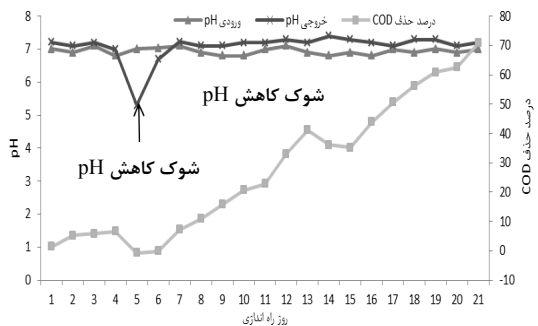
۱- APHA. Standard Methods for the Examination of Water and Wastewater, 16th ed.



تصویر شماره ۳: روند تغییرات COD در دوره راه اندازی سیستم



تصویر شماره ۴: اثر دما بر میزان حذف COD در دوره راه اندازی سیستم



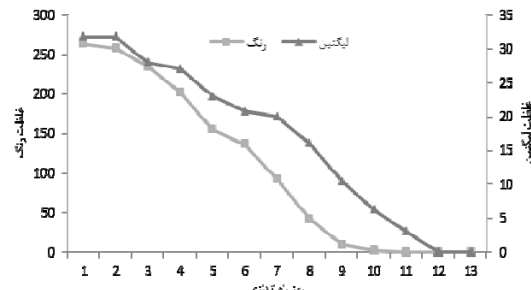
تصویر شماره ۵: اثر pH بر میزان حذف COD در دوره راه اندازی سیستم

یافته ها

۱- کار با پسآب مصنوعی

بعد از فاز تطبیق مرحله بهره برداری سیستم با افزایش OLR شروع شد. پسآب ساخته شده برای این مرحله همانند فاز تطبیق بود. مشخصات سیستم در هر افزایش OLR در جدول شماره ۶ قابل مشاهده است. نمودار تغییرات COD خروجی و میزان OLR در مدت ۴۳ روز پس از راه اندازی سیستم در تصویر شماره ۶ آورده

حذف دو پارامتر مشاهده شود. نتایج حاصله بعد از ۱۱ روز حذف کامل را نشان داد که در تصویر شماره ۲ قابل مشاهده است.



تصویر شماره ۲: نمودار تدریجی حذف لیگنین (mg/l) و رینگ (بر حسب واحد رینگ (CU) در لجن اولیه

۷-۲. فاز تطبیق

به علت این که لجن بیولوژیکی مورد استفاده در راکتور از حوض ته نشینی سیستم تصفیه کارخانه چوب و کاغذ مازندران تهیه شد، لذا دارای کیفیت مشابه با فاضلاب این صنایع بوده و سبب شد مدت زمان لازم برای تطبیق میکرووار گانیسم‌ها با محیط جدید بسیار کوتاه شود. برای حصول به زمان دقیق، ادامه کار در مراحل زیر انجام شد:

مقادیر مطلوب روند تدریجی حذف COD در تصویر شماره ۳ قابل مشاهده است. در طی این دوره همان‌طور که در تصاویر شماره ۴ و ۵ مشاهده می‌شود در روزهای ۵، ۶، ۱۴ و ۱۵ دوره راه اندازی، به ترتیب به COD افت pH و دمای راکتور، کاهش در حذف مشاهده گردید. در جدول شماره ۵ نیز مشخصات راکتور بعد از راه اندازی و قبل از افزایش OLR نشان داده شده است.

جدول شماره ۵: مشخصات راکتور بعد از راه اندازه و قبل از افزایش بارگذاری در خروجی سیستم

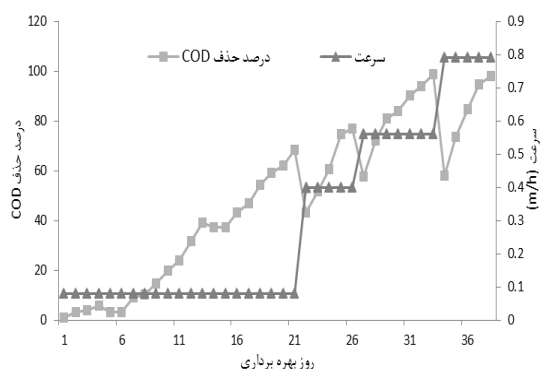
پارامتر	مقدار	میزان توصیه شده
قلیلاب*	۱۲۹	۱۲۰
pH	۶/۸-۷/۲	۶/۸-۷/۲
درصد نهایی حذف COD	٪/۸۰	٪/۶۰
اسیدهای چرب فارا°	۱۰-۹۸	<۲۵

*قلیلاب و اسیدهای چرب فارا برابر حسب mg/گزارش شده است

افت شدید pH رخ داد. در سایر موارد همواره خروجی نسبت به ورودی افزایش داشته است. در تصویر شماره ۹ نیز نمودار تغییرات درصد حذف COD نسبت به سرعت رو به بالا نشان داده شده است. همان‌طور که مشاهده می‌شود در بارگذاری‌های اولیه با افزایش سرعت رو به بالا (هم زمان با افزایش OLR) افت در میزان حذف COD مشاهده می‌شود، اما به تدریج میزان این کاهش ناشی از افزایش OLR در راکتور کمتر می‌شود. به منظور بررسی روند تغییرات غلظت VSS در طول ۴ دوره بهره‌برداری (روز پایانی هر بارگذاری)، از چهار شیر موجود در ارتفاعات مختلف راکتور راکتور نمونه‌گیری انجام شد. نتایج در تصویر شماره ۱۰ قابل مشاهده است. بر این اساس بالغ بر ۹۰ درصد توده بیولوژیکی در بخش ۱/۳ انتهایی راکتور قرار دارد. در تصویر شماره ۱۱ تغییرات بارگذاری و اثر آن بر میزان حذف رنگ، لیگنین و تغییرات غلظت VSS خروجی نشان داده شده است. هم‌چنان که در این شکل مشخص است در طی دوره مطالعه سیستم همواره تولید رنگ را نشان داده است، لذا درصد حذف رنگ به صورت منفی مشاهده شد.

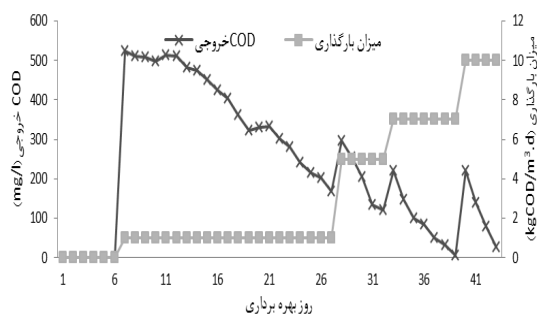
۲- کار با پس‌آب واقعی

با توجه به میزان OLR بهینه که در مرحله پیش حاصل شد، نمونه پس‌آب واقعی مورد آزمایش قرار گرفت.

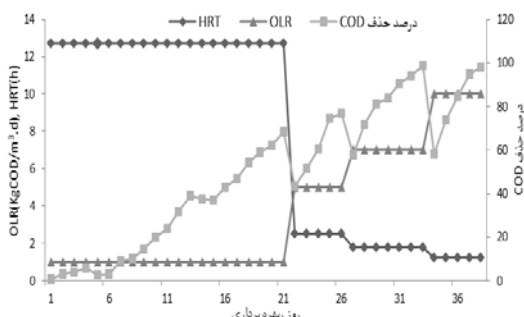


تصویر شماره ۹: تاثیر سرعت بر میزان حذف COD در دوره تحقیق

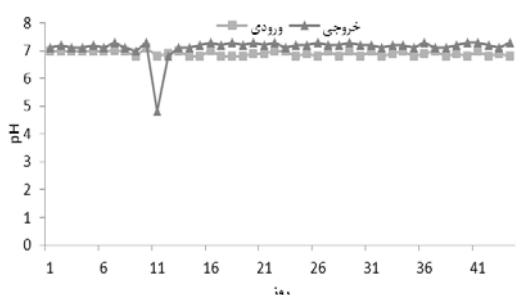
شده است. بهره‌برداری سیستم با بیشترین HRT و کمترین OLR شروع شد. در تصویر شماره ۷ تغییرات OLR و HRT و اثرات آن‌ها بر حذف COD نشان داده شده است. تصویر شماره ۸ تغییرات pH در ورودی و خروجی را نشان می‌دهد.



تصویر شماره ۶: تاثیر تغییرات بارگذاری بر میزان حذف COD در دوره تحقیق

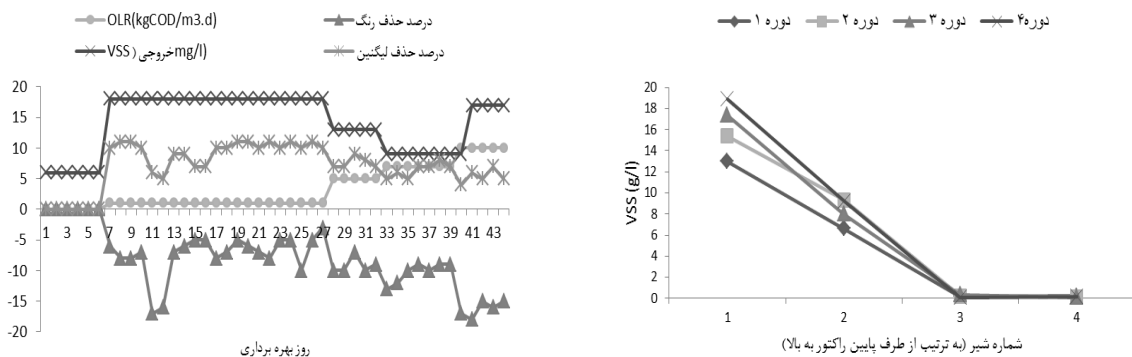


تصویر شماره ۷: اثر متقابل OLR و HRT بر میزان حذف COD در دوره تحقیق



تصویر شماره ۸: روند تغییرات pH ورودی و خروجی در طول دوره تحقیق

همان‌طور که مشاهده می‌شود در روز ۱۱ و ۱۲ (برابر با روز پنجم و ششم شروع بارگذاری یک بود)



تصویر شماره ۱۱: توانایی سیستم در حذف رنگ و لیگنین در بارگذاری‌های مختلف و رابطه‌ی آن با غلظت VSS خروجی

تصویر شماره ۱۰: نمودار تغییرات VSS خروجی در نقاط مختلف نمونه برداری در طی ۴ دوره مطالعه

جدول شماره ۶: مشخصات راکتور در طی دوره راه اندازی به ازای مقادیر مختلف بارگذاری

OLR(kgCOD/m ³ .d)					واحد	پارامتر
۱۰	۷	۵	۱	*		
۴۰-۴۳	۳۳-۳۹	۲۸-۳۲	۷-۲۷	۱-۶	d	دوره بهره برداری*
۰/۷۹	۰/۵۶	۰/۴۰	۰/۰۸	۰/۴۰	m/h	سرعت رو به بالا
۱/۲۶	۲/۱۹	۲/۵۲	۱۳/۱۱	۲/۵۲	h	HRT
۲۰	۲۰	۲۰	۲۰	۲۰	d	SRT
۵۲۵/۲۵±۲/۶۳	۵۲۵/۲۵±۲/۶۳	۵۲۵/۲۵±۲/۶۳	۵۲۵/۲۵±۲/۶۳	.	mg/l	ورودی COD
۹۱۰۵±۰/۳	۸۴۹±۰/۲	۸۴۴۵±۰/۵	۸۳۸±۰/۳	۸۳۴۲±۰/۱	mg/l	TSS
۸۰۰۱±۰/۶	۷۱۱۱±۰/۱	۶۴۵۰±۰/۵	۶۲۶۰±۰/۴	۵۰۰۳±۰/۵	mg/l	VSS
۰/۸۸	۰/۸۴	۰/۷۶	۰/۷۵	۰/۶۰	-	VSS/TSS
۱/۲۵	۰/۹۸	۰/۷۷	۰/۱۶	-	kgCOD/kgVSS.d	F/M
۰/۳۴۱±۰/۷	۰/۱۶۲±۰/۵	۰/۰۹±۰/۳	۰/۱۱۳±۰/۴	۰/۲۱۱±۰/۸	mg/l	VSS خروجی
۸۱/۸۸±۱۶/۳۴	۸۲/۵۳±۱۴/۰۳	۶۱/۵۲±۱۴/۵۷	۷۷/۵۲±۲۲/۲۷	.	%	COD
-۱۶/۲±۱/۳	-۱۰/۲۹±۱/۶۰	-۹/۲۲±۱/۳۰	-۷/۵۷±۳/۴۳	.	%	حذف رنگ
۸/۱۸±۲/۶۷	۵/۷۷±۰/۹۸	۳/۰/۷±۰/۷۳	۰/۲۷±۰/۲۲	.	kgCOD/m ³ .d	EC _v
۱/۰۲±۰/۲۰	۰/۸۱±۰/۱۴	۰/۰۴۸±۰/۱۱	۰/۰۴±۰/۰۴	.	kgCOD/kgVSS	EC _M

*منتظر دوره راه اندازی برای هر بارگذاری از روز اول بارگذاری تا روز ۴۳ است.

بیهوای COD و رنگ به محدوده‌ی استاندارد خروجی ملی ایران (< 60 COD و < 75 رنگ) رسید.

بحث

۱- کار با پسآب مصنوعی
با توجه به دلایل ذیل راه‌اندازی سیستم با فاضلاب مصنوعی انجام گردید:

- حساسیت بالای سیستم‌های بیهوای به مواد سمی، OLR، عدم وجود دما و pH مناسب و SS بالا که

پس از تهیه پسآب واقعی کارخانه چوب و کاغذ مازندران و اندازه گیری میزان COD، رنگ و لیگنین اولیه، و تنظیم نسبت COD/N/P، توانایی حذف سیستم در بارگذاری بهینه ($7\text{kgCOD/m}^3.\text{d}$) و HRT برابر $2/19$ ساعت مورد ارزیابی قرار گرفت. پس از تزریق پسآب واقعی، پارامترهای مذکور تا رسیدن به کم تر از ۵ درصد تغییر اندازه گیری شدند. به منظور حذف TSS خروجی و حذف خطای ناشی از آن در اندازه گیری رنگ، نمونه در ۱۵۰۰ rpm برای ۱۵ دقیقه سانتریفیوژ شد و سپس میزان رنگ اندازه گیری گردید. نتایج نهایی $76/15$ درصد حذف COD، 34 درصد حذف رنگ و 49 درصد حذف لیگنین را نشان داد. بر این اساس، پس از خروج از راکتور

۱- این استاندارد به استناد ماده ۵ آینین نامه جلوگیری از آلودگی آب و با توجه به ماده ۳ همین آینین نامه و با همکاری وزارت‌خانه‌ی بهداشت، درمان و آموزش پزشکی، نیرو، صنایع، ستگن، معادن و فلزات، کشور و کشاورزی توسعه سازمان حفاظت محیط زیست تهیه و تدوین گردیده است.

۷۰ درصد حذف COD را نشان داد و در مدت هفت روز این میزان به بالغ بر ۹۰ درصد رسید. این روند در بارگذاری $10 \text{ kgCOD/m}^3 \cdot \text{d}$ نیز مشاهده شد. این نتیجه با مطالعات مشابه کار شده روی سیستم‌های بیهوازی همخوانی دارد(۳۳-۳۶). با افزایش OLR به $12 \text{ kgCOD/m}^3 \cdot \text{d}$ خروج توده بیولوژیکی مشاهده گردید. لذا با توجه به نتایج حاصله و با در نظر گرفتن فاکتور هزینه اثربخشی روش، بارگذاری افزایش pH خروجی نسبت به میزان ورودی نشان داد که سیستم همواره تولید کننده قلیاقیت است که دال بر تطبیق مناسب میکرووارگانیسم‌ها با محیط جدید است(۲۷). آنالیز ستون لجن نشان داد که بالغ بر ۹۰ درصد توده بیولوژیکی در بخش $1/3$ پایین راکتور حضور دارد که نشان‌دهنده تراکم مناسب لجن است(۲۹). همچنین بررسی گردیان غلظت در ارتفاع راکتور نشان می‌دهد که افزایش تولید VSS و متعاقب آن بالارفتن سرعت فعالیت و تکثیر توده بیولوژیکی می‌تواند شوک ناشی از افزایش بار را در مراحل انتهاهی تحمل کند(۲۱)؛ همچنان که با افزایش OLR نسبت VSS/TSS نیز افزایش یافته است که مؤید صحت مطلب گفته شده است و با مطالعات مشابه همخوانی دارد(۳۷). همچنین با افزایش OLR، تولید گاز در بستر لجن هم افزایش یافته و سبب اختلاط بیشتر به ویژه در شیر شماره ۳ و خروجی می‌گردد؛ لذا میزان VSS به تدریج در این نقاط بیشتر از دوره‌های پیش است. خروجی TSS و VSS در هیچ حالتی بیشتر از حد استانداردها گزارش نشد.

با توجه به نسبت F/M در جدول شماره ۶، سیستم حساسیت کمی نسبت به کاهش یا افزایش ماده غذایی در محیط دارد که با ویژگی‌های سیستم‌های بیهوازی در مطالعات مشابه تطابق دارد(۸). از جمله گازهای تولیدی در سیستم‌های بیهوازی می‌توان به متان (گاز غالب) و دی‌اکسید کربن اشاره کرد که اگر به درستی مدیریت نشوند جز گازهای گلخانه‌ای بوده و در

ممکن است سبب مرگ میکروارگانیسم‌ها (به ویژه متان سازها) و کاهش کارایی سیستم بیهوازی شود(۳۱).

- کنترل کامل فرآیندها در مرحله راهاندازی با پایش کامل سیستم امکان‌پذیر می‌گردد، لذا باید ترکیبات فاضلاب به کارگرفته شده کاملاً مشخص باشد تا بتوان رفتار میکرووارگانیسم‌ها را در طی مطالعه به درستی ارزیابی نمود(۱۵، ۱۶).

- نیاز به حجم بالای پس‌آب به دلیل پیوسته بودن نوع جریان و محدودیت‌های موجود در نمونه گیری پس‌آب.

مسلمانًا انجام مطالعات تکمیلی با پس‌آب واقعی در محل تصفیه خانه صنایع چوب و کاغذ می‌تواند نتایج دقیق‌تری را به دنبال داشته باشد.

با توجه به این موضوع که لجن استفاده شده از خود صنایع چوب و کاغذ تهیه شده بود سرعت تطبیق یافتن میکرووارگانیسم‌ها با محیط سریع بود و با شروع بارگذاری $1 \text{ kgCOD/m}^3 \cdot \text{d}$ در مدت ۲۷ روز سیستم توانایی حذف بالغ بر ۷۰ درصد COD را نشان داد. در روز پنجم و ششم، کاهش شدید pH مشاهده شد که به دلیل تولید اسیدهای چرب فرار قابل توجیه است(۳۲)؛ این امر سبب شد که COD خروجی حتی به بیشتر از COD ورودی نیز افزایش یابد که به دلیل تولید اسیدهای فرار است. همچنین با توجه به حساسیت بالای سیستم‌های بیهوازی نسبت به پارامترهای محیطی، هرگونه کاهش pH و دما سبب کاهش راندمان می‌گردد که با مطالعه‌ی Chaparro و همکاران (۲۰۱۱) نیز همخوانی دارد(۱۱). با آغاز مرحله بهره برداری سیستم، افزایش OLR سبب وارد شدن شوک به سیستم گردید و راندمان حذف COD کاهش یافت، اما بعد از مدت کوتاهی سیستم با شرایط تطبیق و حذف COD افزایش یافت. به مرور با افزایش OLR، این کاهش در حذف COD و زمان لازم برای تطبیق بسیار کوتاه شد، به طوری که با افزایش میزان OLR از $5 \text{ kgCOD/m}^3 \cdot \text{d}$ به $7 \text{ kgCOD/m}^3 \cdot \text{d}$ ، سیستم تنها در مدت پنج روز بالغ بر

اندازه‌گیری COD، این مولکول شکسته نمی‌شود، اما پس از تزریق فاضلاب به سیستم، میکروارگانیسم‌ها ابتدا شروع به تجزیه گلوکر (به عنوان ماده غذایی ساده و قابل هضم) می‌کنند و سپس تجزیه لیگنین آغاز می‌شود. با شکست این ماکرومولکول به مونومرها موادی تولیدی می‌شوند که می‌توانند در اندازه‌گیری COD و لیگنین خود را نشان دهند و لذا در صد حذف COD و لیگنین با مقدار واقعی آن تفاوت پیدا می‌کند که در مطالعه مشابه برای سایر ماکرومولکول‌ها نیز مشاهده شده است (۳۵، ۳۶).

۲- کار با پسآب واقعی

نتایج کار با پسآب واقعی حذف بالغ بر ۷۰ درصد COD، ۳۰ درصد رنگ و ۴۹ درصد لیگنین را نشان می‌دهد که با نتایج حاصله از پسآب مصنوعی تفاوت چشمگیری دارد. این اختلاف به دلیل تفاوت در نوع لیگنین موجود در پسآب مصنوعی و واقعی است. پسآب واقعی از مرحله هوادهی گسترده عبور کرده است، لذا همان طور که گفته شد- مسلمًا مقداری از لیگنین در این واحد به مولکول‌های کوچک‌تر و ساده‌تر شکسته می‌شود که با تزریق به سیستم بیهوایی به صورت قابل دسترس‌تر (در مقایسه با پسآب مصنوعی که با لیگنین موجود در فاضلاب خام ساخته شده است) بوده و به مقدار بیشتری تجزیه صورت می‌گیرد. در مطالعه Cui و همکاران (۲۰۱۱) میزان حذف COD در راکتور IC در برابر ۱۰ ساعت) اما در نگاه کلی، هر دو مطالعه نشان می‌دهد تجزیه لیگنین با HRT رابطه مستقیم دارد که تاکیدی مجده بر حذف مشکل لیگنین در سیستم‌های بیولوژیکی است (۳۴). مقایسه نمودارهای ۱۱ و ۷ موید این است که حتی در زمانی که سیستم بالغ بر ۷۰ درصد حذف COD را نشان می‌دهد تنها ۱۱ تا ۱۲ درصد حذف لیگنین مشاهده می‌گردد. نتایج نشان می‌دهد که COD نمی‌تواند به عنوان ردیابی مناسب برای تغییرات میزان تجزیه مواد آلی به ویژه ماکرومولکول لیگنین باشد. با توجه به ساختار پیچیده مولکول لیگنین، در فاضلاب ورودی و هنگام

گرمایش زمین موثر هستند، اما همین گازها با مدیریت درست می‌توانند به عنوان منبع سوخت برای تولید انرژی مورد استفاده قرار گیرند (۳۱). میزان گاز تولیدی در مطالعه حاضر حدود ۰/۳۲ متر مکعب به ازای کیلوگرم COD حذف شده تخمین زده شد که همانند مطالعه یاری و همکاران (۲۰۰۵) از مقدار نظری آن در سیستم‌های UASB (۰/۳۵ متر مکعب به ازای کیلوگرم COD حذف شده) کمتر است (۳۲) که با استفاده از سیستم‌های اندازه‌گیری دقیق‌تر می‌توان این خطای احتمالی را کاهش داد. نتایج مطالعه حاضر همواره تولید رنگ را نشان داده است که به دلیل شکست مولکول لیگنین می‌باشد که در سایر سیستم‌های بیهوایی نیز مشاهده شده است (۱۱). دلیل دیگر آن ناشی از TSS خروجی بالاست که یکی از ویژگی‌های سیستم‌های بیهوایی است که سبب خطا در اندازه‌گیری رنگ می‌گردد (۳۳) به طوری که بعد از سانتریفیوژ نمونه‌ها این حالت برطرف گردید. در مقیاس واقعی با برگشت این پسآب به حوض هوادهی و سپس عبور از زلال ساز این مشکل رفع می‌گردد. با افزایش OLR، کاهش کمی در حذف لیگنین (p=۰/۰۰۲) مشاهده شد و در کل سیستم در بارگذاری‌های مختلف توانایی حذف حدود ۷±۳/۵ درصد لیگنین را نشان داد. اگرچه این مقدار کمتر از نتایج مطالعه Diez و همکاران (۲۰۰۲) است (۳۶) درصد در RT برابر ۱۰ ساعت) اما در نگاه کلی، هر دو مطالعه نشان می‌دهد تجزیه لیگنین با HRT رابطه مستقیم دارد که تاکیدی مجده بر حذف مشکل لیگنین در سیستم‌های بیولوژیکی است (۳۴). مقایسه نمودارهای ۱۱ و ۷ موید این است که حتی در زمانی که سیستم بالغ بر ۷۰ درصد حذف COD را نشان می‌دهد تنها ۱۱ تا ۱۲ درصد حذف لیگنین مشاهده می‌گردد. نتایج نشان می‌دهد که COD نمی‌تواند به عنوان ردیابی مناسب برای تغییرات میزان تجزیه مواد آلی به ویژه ماکرومولکول لیگنین باشد. با توجه به ساختار پیچیده مولکول لیگنین، در فاضلاب ورودی و هنگام

۲- خروجی سیستم بیهوازی به واحد انعقاد شیمیایی برگردانده شود که اگرچه سبب افزایش مصرف مواد منعقد کننده می‌شود، اما توانایی بالایی در حذف TSS و رنگ تولید شده در سیستم بیهوازی حاضر دارد(۳۸،۳۹). با توجه به توانایی مطلوب این سیستم در حذف COD و رنگ پسآب صنایع چوب و کاغذ و رساندن پسآب به محدوده استانداردهای تخلیه، با انجام مطالعات تکمیلی بیشتر می‌تواند به عنوان الگوی مناسبی جهت استفاده در این صنایع مد نظر قرار گیرد.

سپاسگزاری

این مقاله حاصل پایان نامه کارشناسی ارشد و نیز طرح تحقیقاتی شماره ۹۳/۱۹۵ است که با حمایت معاونت تحقیقات و فناوری دانشگاه علوم پزشکی مازندران انجام شده است. بدین وسیله نویسندهای این مقاله از حمایت‌های این مرکز تشکر و قدردانی می‌نمایند. هم‌چنین بدین وسیله از راهنمایی‌های ارزشمند جناب آقای دکتر حسن خرسندی قدردانی می‌گردد.

References

1. Sappi. Water Use and Treatment in the Pulp and Paper Industry. Sappi Fine Paper North America. 2012; 5: 1-7.
2. Banat F, Al-Asheh S, Al-Anbar S, Al-Refaie S. Microwave-and acid-treated bentonite as adsorbents of methylene blue from a simulated dye wastewater. Bulletin of Engineering Geology and the Environment 2007; 66(1): 53-58.
3. Yousefi Z, Aghili SR, Ghorbanian M. Isolation of fungus from Mazandaran pulp and paper industry effluent. 13th EuCheMS International Conference on Chemistry and the Environment. Zurich, Switzerland. 11-15 Sep. 2011.
4. Yousefi Z, Mohmadpour RA, Zarei E, Barafrashtehpour M. Lignin degradation from synthetic wastewater of pulp and paper industries by using of UV/Fe-Doped TiO₂ photocatalytic process. J Mazandaran Univ Med Sci 2014; 23(2): 96-106.
5. Akpan UG, Hameed BH. Parameters affecting the photocatalytic degradation of dyes using TiO₂-based photocatalysts: a review. Hazard Material Journal 2009; 170(2-3): 520-529.
6. Meriç S, Selçuk H, Belgıorno V. Acute toxicity removal in textile finishing wastewater by Fenton's oxidation, ozone and coagulation-flocculation processes. Water Research 2005; 39(6): 1147-1153.
7. Abou Elela SI, Ali MEM, Ibrahim HS. Combined treatment of retting flax wastewater using Fenton oxidation and

آنالیز پیشرفته تر مانند کروماتوگرافی و HPLC مدنظر قرار گیرد تا بتوان مواد واسطه تولیدی را ارزیابی نمود و با استفاده از میزان حذف آن‌ها کارایی سیستم را مورد ارزیابی دقیق قرار داد. هم‌چنین پیشنهاد می‌شود که جهت اندازه گیری لیگنین از روش‌های دقیق‌تر از رنگ‌سنجی، مانند روش‌های آنژیمی، استفاده شود(۳۷). با عنایت به این موضوع که واحد بیهوازی به دلیل تولید رنگ و TSS نمی‌تواند به تنها برای تصفیه تکمیلی کافی باشد(۸)، لذا می‌توان با دو گزینه پیشنهادی زیر با رفع مشکل موجود پسآب را به استانداردهای لازم تخلیه به آب‌های سطحی رساند:

۱- با برگشت مجدد پسآب از خروجی واحد بیهوازی (مطالعه حاضر) به هوادهی و با برقراری سیکل ترکیبی هوازی- بیهوازی- هوازی، می‌توان علاوه بر به استاندارد رساندن پسآب خروجی، با رقيق‌سازی جریان ورودی به هوادهی سبب کاهش بارآلی بر سیستم هوازی، تولید لجن کم‌تر، کاهش زمان هوادهی مورد نیاز و متعاقب آن مصرف انرژی کم‌تر شد.

- granular activated carbon. *Arabian Journal of Chemistry*. 2014. (In Press).
8. Tchobanoglou G, Burton F, Stensel HD. *Wastewater Engineering: Treatment and Reuse*. 4thed. McGraw-Hill; 2013.
 9. Leitão RC, Van Haandel AC, Zeeman G, Lettinga G. The effects of operational and environmental variations on anaerobic wastewater treatment systems: a review. *Bioresour Technol* 2006; 97(9): 1105-1118.
 10. Rincón B, Borja R, González J, Portillo M, Sáiz Jiménez C. Influence of organic loading rate and hydraulic retention time on the performance, stability and microbial communities of one-stage anaerobic digestion of two-phase olive mill solid residue. *Biochem Eng J* 2008; 40(2): 253-261.
 11. Chaparro TR, Pires EC. Anaerobic treatment of cellulose bleach plant wastewater: chlorinated organics and genotoxicity removal. *Braz J Chem Eng* 2011; 28(4): 625-238.
 12. Cui P, Zhou X, Zhang Y. The Feasibility Study of Cotton Pulp Wastewater Treatmentwith IC Anaerobic Reactor. *Procedia Environ Sci* 2011; 11: 686-692.
 13. Arshad A, Hashim NH. Anaerobic Digestion of Nssc Pulping Effluent. *Int J Environ Res* 2012; 6(3): 761-768.
 14. Wijetunga S, Li XF, Jian C. Effect of organic load on decolorization of textile wastewater containing acid dyes in upflow anaerobic sludge blanket reactor. *J Hazard Mater* 2010; 177(1-3): 792–798.
 15. Latif M, Ahmad A, Ghufran R, Wahid Z. Effect of temperature and organic loading rate on upflow anaerobic sludge blanket reactorand CH₄ production by treating liquidized food waste. *Environ Prog Sustain Energy* 2012; 31(1): 114-121.
 16. Wijekoon KC, Visvanathan C, Abeynayaka A. Effect of organic loading rate on VFA production, organic matter removal and microbial activity of a two-stage thermophilic anaerobic membrane bioreactor. *Bioresour Technol* 2011; 102(9): 5353-5360.
 17. Mohan SV, Babu VL, Sarma P. Anaerobic biohydrogen production from dairy wastewater treatment in sequencing batch reactor (AnSBR): effect of organic loading rate. *Enzyme Microb Technol* 2007; 41(4): 5506-5015.
 18. Van Ginkel SW, Logan B. Increased biological hydrogen production with reduced organic loading. *Water Rese* 2005; 39(16): 3819-3826.
 19. Hinton N, Stone R. Laminar burning velocity measurements of methane and carbon dioxide mixtures (biogas) over wide ranging temperatures and pressures. *Fuel* 2014; 116: 743-750.
 20. Hrad M, Piringer M, Huber-Humer M. Determining methane emissions from biogas plants—Operational and meteorological aspects. *Bioresour Technol* 2015; 191: 234-243.
 21. Shafagh Consulting Engineers Company. *Hydraulic in water and wastewater treatmentsystems*. 1th Tehran: Simaye Danesh; 2011.
 22. Uğurlu M, Karaoglu MH. Removal of AOX, total nitrogen and chlorinated lignin from bleached Kraft mill effluents by UV oxidation in the presence of hydrogen peroxide utilizing TiO₂ as photocatalyst. *Environ Sci Pollut Res* 2009; 16(3): 265-273.
 23. Rastegarf N, Behrooz R, Bahramifar N. Elimination of Phenol and Color from Pulping Black Liquor Using Electrocoagulation Process. *Water and Wastewater Journal*. 2011; 2: 45-52.

24. Sindhu R, Binod P, Pandey A. Biological pretreatment of lignocellulosic biomass—An overview. *Bioresource technology*. 2015; (In Press).
25. Cardoso M, Oliveira ÉD, Passos ML. Chemical composition and physical properties of black liquors and their effects on liquor recovery operation in Brazilian pulp mills. *Fuel* 2009; 88(4): 756-763.
26. Rojas OJ, Song J, Dimitris S. lignin separation from kraft black liquors by tangential Ultrafiltration. *Science and technology* 2015; 88: 88-95.
27. Chandra R, Raj A, Purohit HJ, Kapley A. Characterisation and optimisation of three potential aerobic bacterial strains for kraft lignin degradation from pulp paper waste. *Chemosphere* 2007; 67(4): 839–846
28. Portjanskaja E, Preis S. Aqueous Photocatalytic Oxidation of Lignin: The Influence of Mineral Admixtures. *International Journal of Photoenergy* 2007. Available from: <http://dx.doi.org/10.1155/2007/76730>.
29. Torkian A, Eqbali A, Hashemian S. The effect of organic loading rate on the performance of UASB reactor treating slaughterhouse effluent. *Resour, Conserv Recycl*. 2003; 40(1): 1-11.
30. Hosseiniyan M. Anaerobic Treatment of Wastewater UASB. 1th ed. Tehran: Hosseiniyan Technical Publication; 2000. (Persian).
31. Chakraborty M, SharmaC, Pandey J, Singh N, Gupta PK. Methane emission estimation from landfills in Delhi: A comparative assessment of different methodologies. *Atmospheric Environment* 2011; 45(39): 7135-7142.
32. Yari AR, Mesdaghinia AR, Nadafi K, Vaezi F, Safdari M, Azizifar M. The Efficiency of UpflowAnaerobic Sludge Blanket (UASB) in SoftDrink Industry Wastewater Treatment. *Water and Wastewater Journal* 2005; 16(3): 31-38
33. Eaton AD, Franson MA. Standard Methods for the Examination of Water & Wastewater. Washington, DC: American PublicHealth Association. 2005.
34. Diez MC, Castillo G, Aguilar L, Vidal G, Mora ML. Operational factors and nutrient effects on activated sludge treatment of Pinus radiata kraft mill wastewater. *Bioresour Technol* 2002; 83(2): 131–138.
35. Hatfield R, Fukushima RS. Can Lignin Be Accurately Measured? *Crop Science* 2005; 45(3): 832-839.
36. Khorsandi H, Mohammadi A, Kariminejad F, Haghghi M, Alizadeh R. Determination of Optimum Conditions for Fenton Oxidation to Remove Linear Alkyl Benzene Sulfonate using Taghuchi Method and Requirement Evaluation to it for Additional Treatment of Biolac Effluent. *IJHE* 2015; 7(9): 558-568.
37. Wu S, Argyropoulos DS. An Improved Method for isolating lignin in high yeild and purity. *JPPS* 2003; 29(7): 235-240.
38. Wong SS, Teng TT, Ahmad AL, Zuhairi A, Najafpour G. Treatmentof pulp and paper mill wastewater by polyacrylamide (PAM) in polymer induced flocculation. *J Hazard Mater* 2006; 135(1): 378-388.
39. Irfan M, Butt T, Imtiaz N, Abbas N, Ahmad Khan R, Shafique A. The removal of COD, TSS and colour of black liquor by coagulation–flocculation process at optimized pH, settling and dosing rate. *Arabian Journal of Chemistry*. Available 2013; doi:10.1016/j.arabjc.2013.08.007.